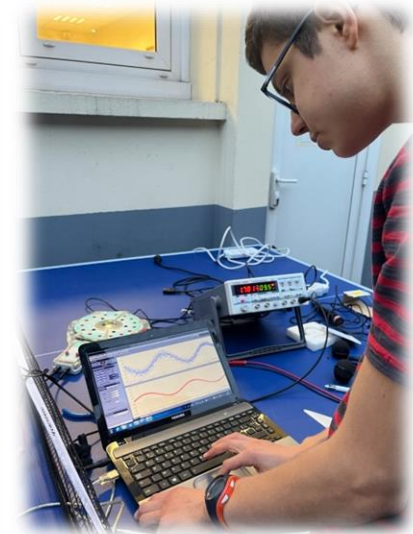
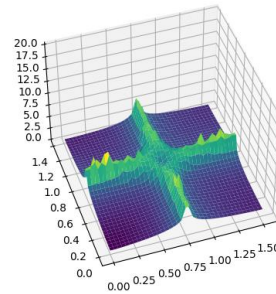
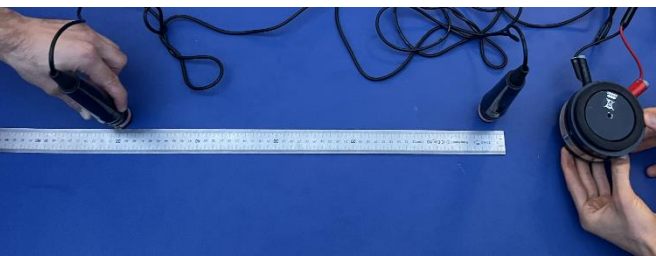
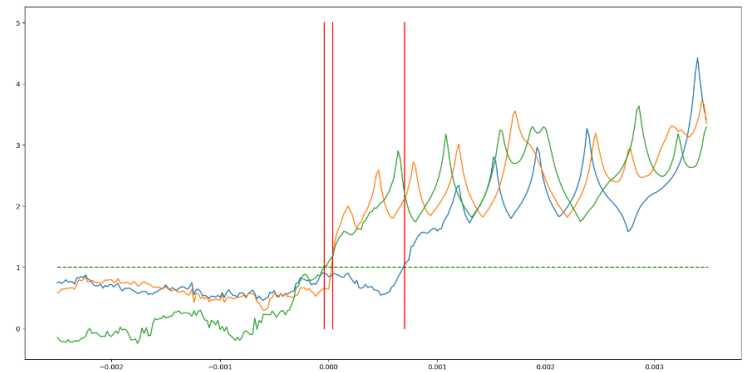
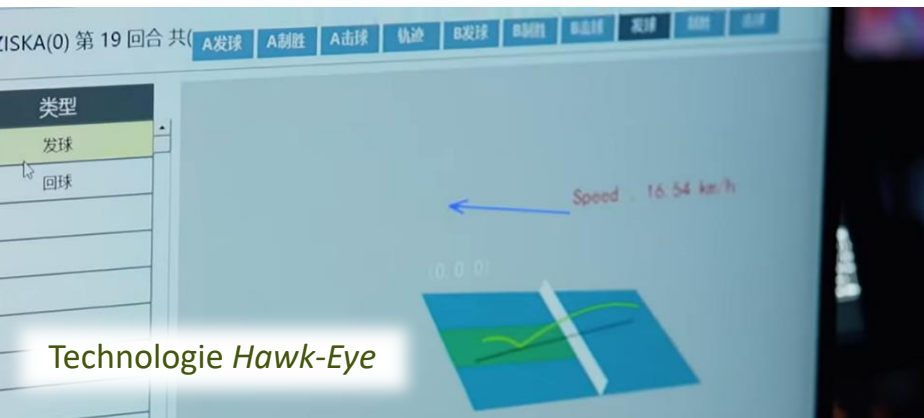


TIPE - SPORTS ET JEUX

Bastien AVRILLON 38901



LOCALISATION DES IMPACTS D'UNE BALLE

AU COURS D'UN JEU DE TENNIS DE TABLE

– PROBLÉMATIQUE RETENUE –

Quelles caractéristiques de la propagation d'ondes acoustiques dans une table de tennis de table sont les plus déterminantes pour calculer la position de l'impact d'une balle ? Que peut-on en déduire quant à la conception d'un système instrumental précis de calcul de position d'impact ?

DÉROULÉ DE LA PRÉSENTATION

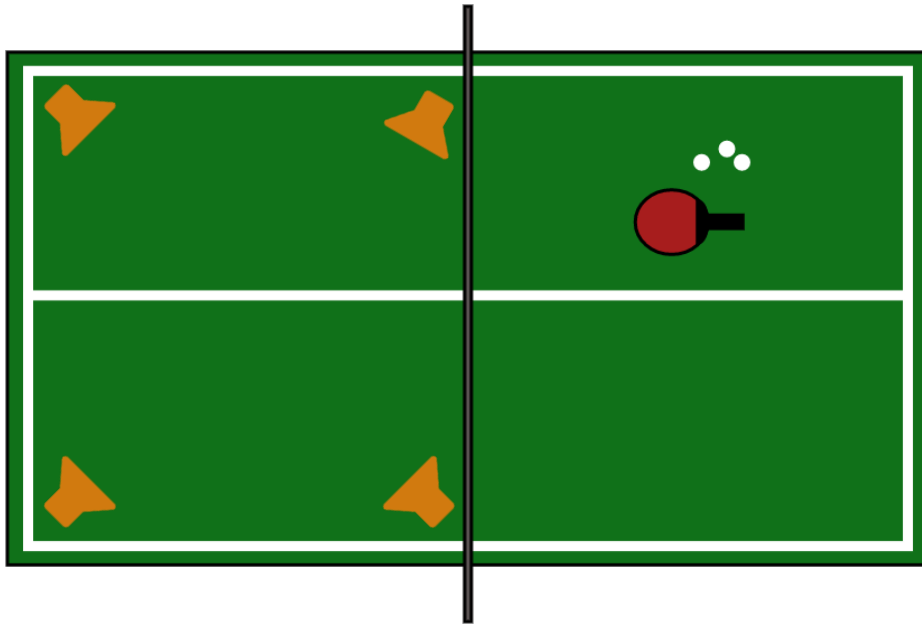
- Procédé de localisation utilisé
- Mise en œuvre concrète de l'acquisition et amélioration du signal
- Mesure expérimentale de la célérité du son et Méthodes détection des instants d'arrivée
- Analyse critique des résultats expérimentaux

— | —

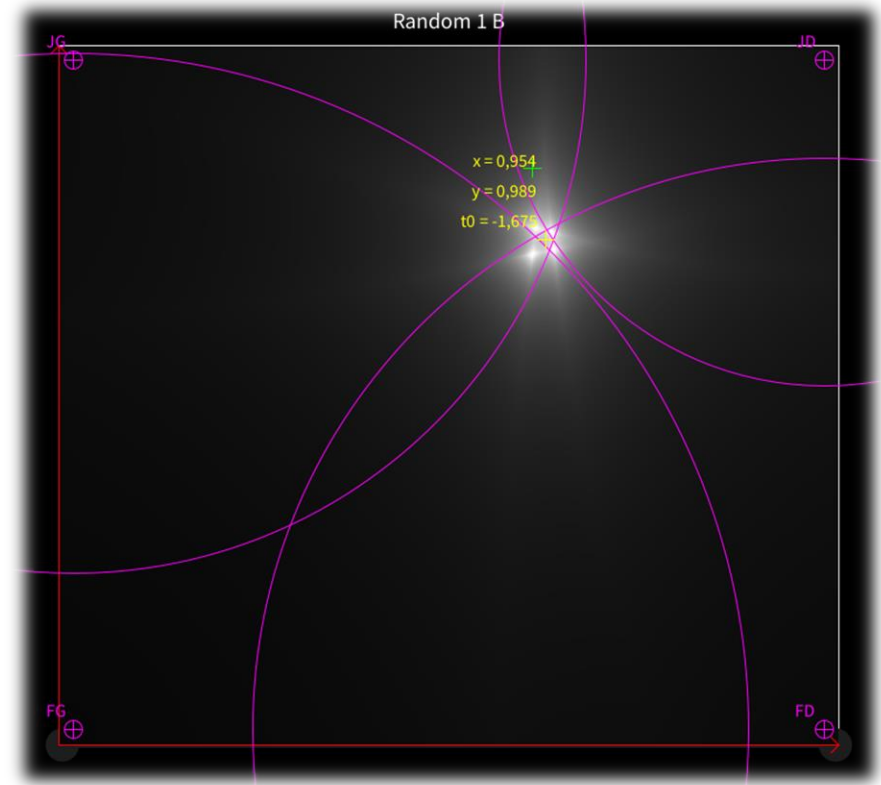
LE PROCÉDÉ DE LOCALISATION UTILISÉ

PROCÉDÉ DE LOCALISATION UTILISÉ

- Exploitations des **ondes acoustiques** se propageant à l'intérieur de la table
- Méthode de **Différence de Temps d'Arrivée** (TDoA), résolution numérique (méthode de Newton)



Placement des microphones sur la table de ping-pong



Programme développé pour calculer les positions par TDoA

— || —

MISE EN ŒUVRE CONCRÈTE DE L'ACQUISITION ET AMÉLIORATION DU SIGNAL

CONCEPTION DES CAPTEURS SONORES

■ Exigences :

- Exploitation par le microcontrôleur
- Eviter la saturation
- Directionnalité cardioïde
- Isolation phonique
- Blindage et gaine contre le bruit électromagnétique



MAX9814 (microphone à gain réglable utilisé)

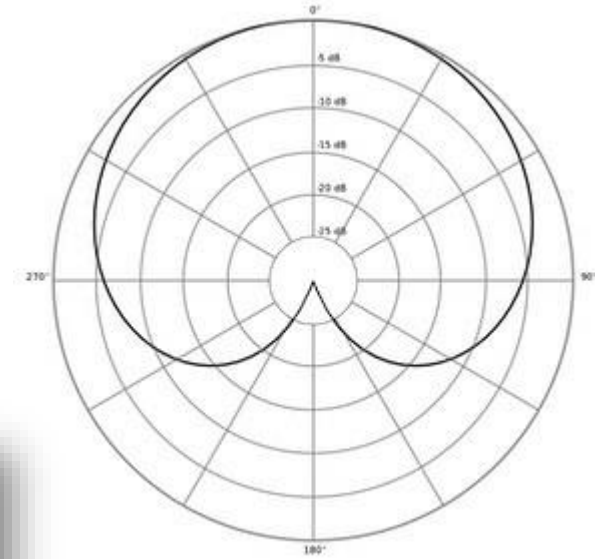
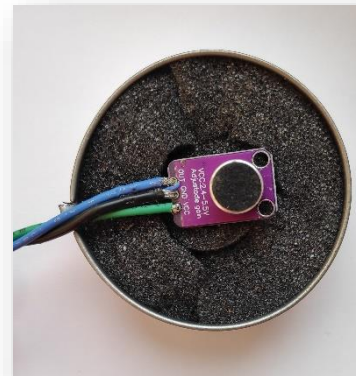
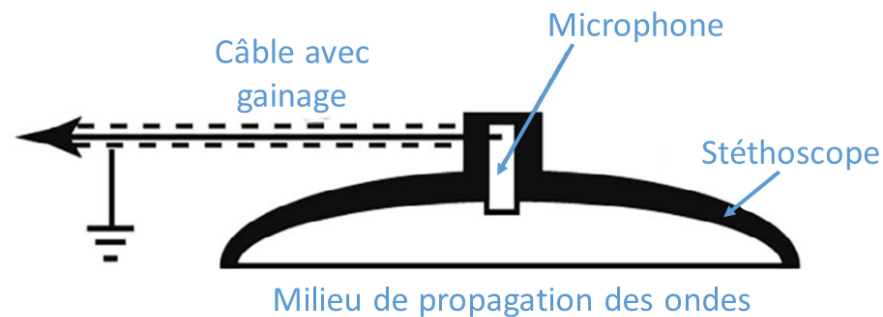
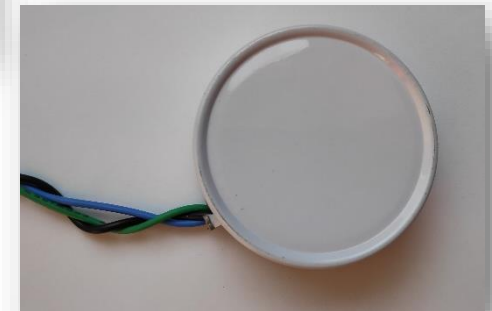


Diagramme polaire de réponse du microphone : cardioïde



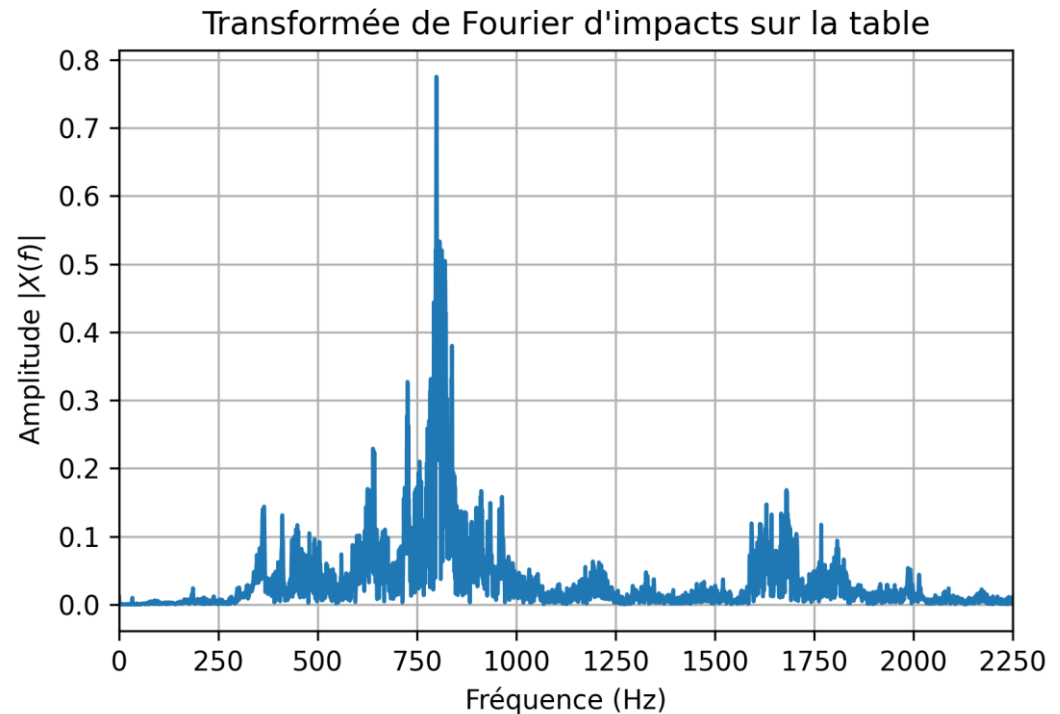
Les capteurs conçus



Microphone « stethoscope » (Applied Acoustics 195)

FILTRAGE NUMÉRIQUE

- **Etude fréquentielle** (transformée de Fourier avec réalisée avec *Numpy*) :
 - Contenu spectral important autour de $f = 785$ Hz
- **Filtrage passe-bande**, par un filtre **numérique** :
 - Faible coût algorithmique
 - Signal in fine numérique
 - Caractéristiques du filtre :
 - $f_0 = 185$ Hz
 - $Q = 10$
 - $T_e = 15$ μ s



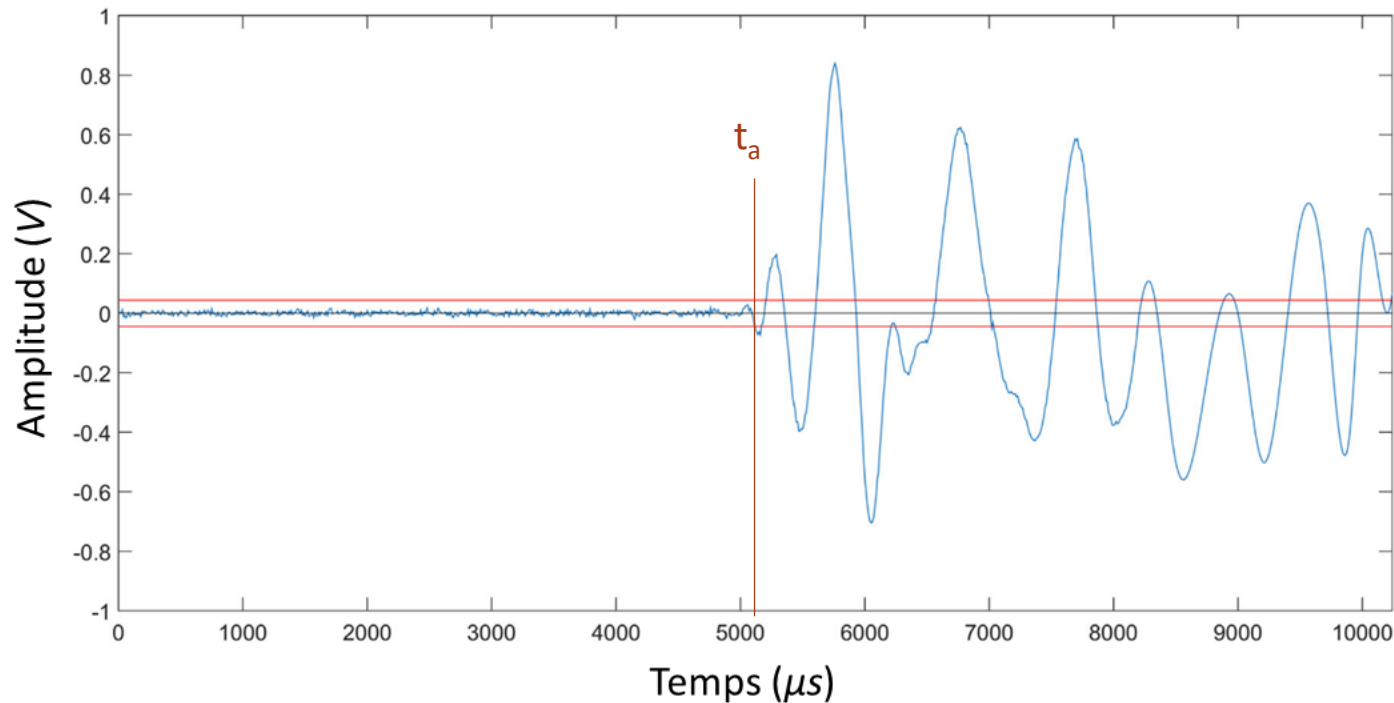
— III —

MESURE EXPÉRIMENTALE DE LA CÉLÉRITÉ DU SON ET MÉTHODES DE CALCUL DES POSITIONS

CALCUL DES INSTANTS D'ARRIVÉE

MÉTHODE « 6-SIGMAS »

- Utilisation d'un seuil relatif à la moyenne du signal :
 - Etablissement du seuil selon la moyenne du bruit sans perturbation
 - Valeur du seuil : 6 écarts-types par rapport à la moyenne (meilleurs résultats expérimentaux)



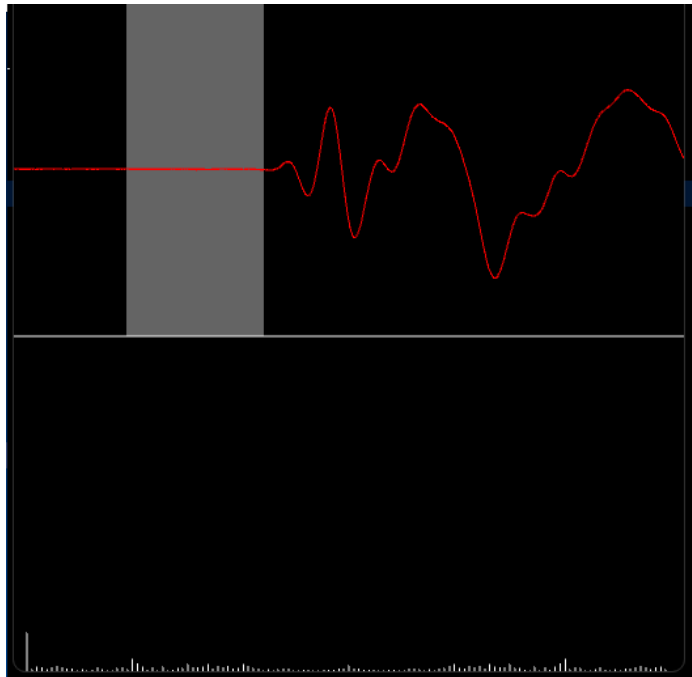
Seuil établi sur un des signaux captés :

**instant d'arrivée de l'onde (t_a)
= instant de franchissement du seuil**

CALCUL DES INSTANTS D'ARRIVÉE

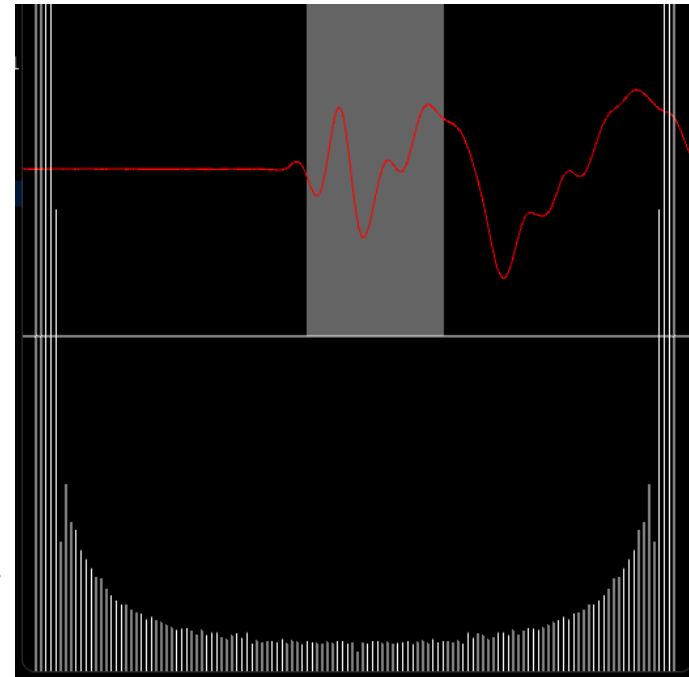
MÉTHODE *FBE* (*Energie des Bandes de Fréquences*)

- Exploitation de la **répartition fréquentielle de l'énergie** véhiculée par l'onde :
 - Isolement d'une fenêtre temporelle du signal
 - Transformées de Fourier rapide



FFT réalisée **avant**
l'arrivée de l'onde au
niveau du capteur

FFT réalisée **après**
l'arrivée de l'onde au
niveau du capteur



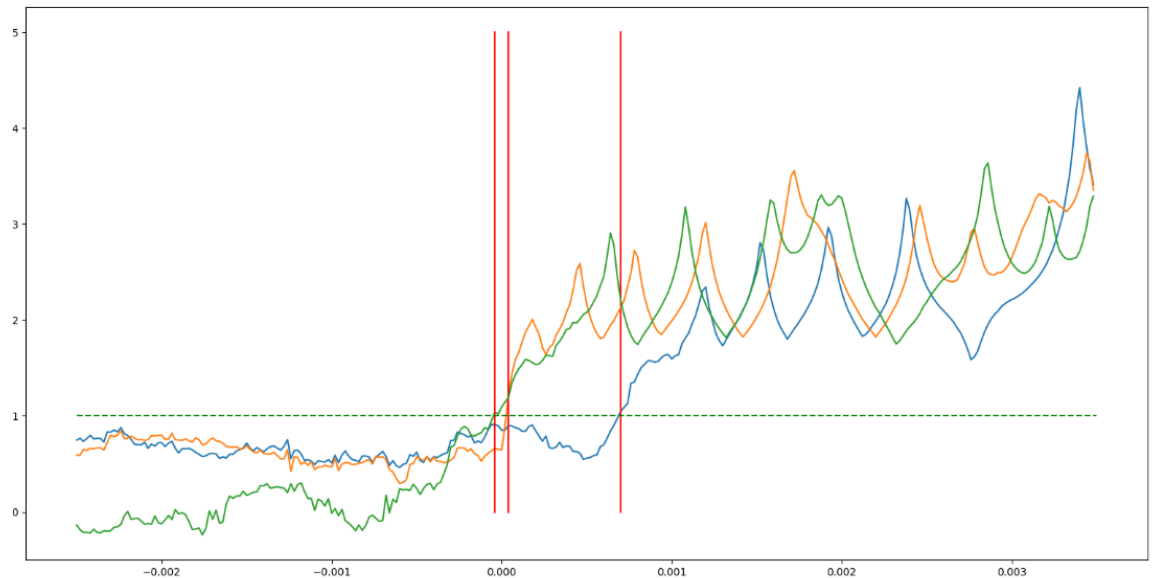
CALCUL DES INSTANTS D'ARRIVÉE

MÉTHODE *FBE* (*Energie des Bandes de Fréquences*)

- Exploitation de la **répartition fréquentielle de l'énergie** véhiculée par l'onde :
 - Isolement d'une fenêtre temporelle du signal
 - Transformées de Fourier rapide
 - Rapport de la bande d'énergie
(utilisation du déséquilibre
fréquence/amplitude)

$$R_{FBE} = \log \frac{Energie_{BF}}{Energie_{HF}}$$

Exemple de la fonction corrélation de
3 capteurs pour un même impact



CÉLÉRITÉ DES ONDES SONORES

CALCUL THÉORIQUE : MODÈLE DE PROPAGATION

- Approximation acoustique :

- Hypothèse des petits mouvement (l'onde est une perturbation)
- Phénomènes dissipatifs négligés (évolution isentropique)
- Pesanteur négligée
- Approximation

- Equation de propagation d'Alembert :

c = célérité de l'onde dans le milieu

$$\Delta p = \frac{1}{c^2} \frac{\partial^2 p}{\partial^2 t}$$

$$c = \frac{1}{\sqrt{\mu \chi_s}}$$

- χ_s = coefficient de compressibilité isentropique du matériau

- μ = masse volumique du matériau (en $kg \cdot m^{-3}$)

Expérimentalement : $\mu = 1,438 \times 10^3 kg \cdot m^{-3}$

- Absence de données tabulées concernant le matériau de la table
(plateau en bois aggloméré ou en résine stratifiée)

CÉLÉRITÉ DES ONDES SONORES

THÉORIE DE L'ONDE À L'INTERFACE

- Loi de Hooke :

$$\sigma = \varepsilon \cdot E$$

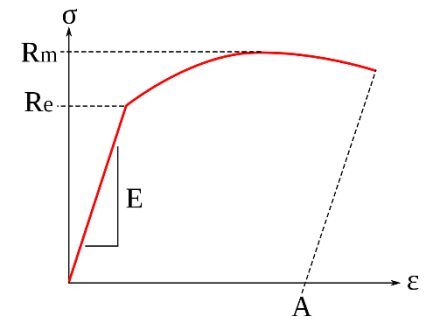
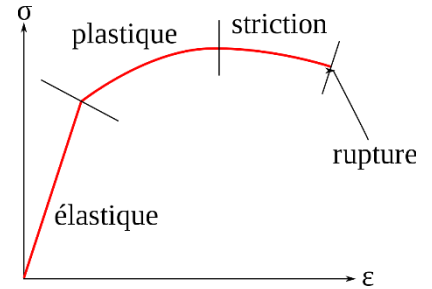
- σ = contrainte de traction appliquée (en Pa)
- ε = allongement relatif (adimensionné)
- E = module d'Young (en Pa)

$$c = \sqrt{\frac{E}{\mu}} = \sqrt{\frac{\sigma}{\mu \varepsilon}}$$

- c = célérité de l'onde dans le matériau (en $m \cdot s^{-1}$)
- μ = masse volumique du matériau (en $kg \cdot m^{-3}$)

Expérimentalement : $\mu = 1,438 \times 10^3 kg \cdot m^{-3}$

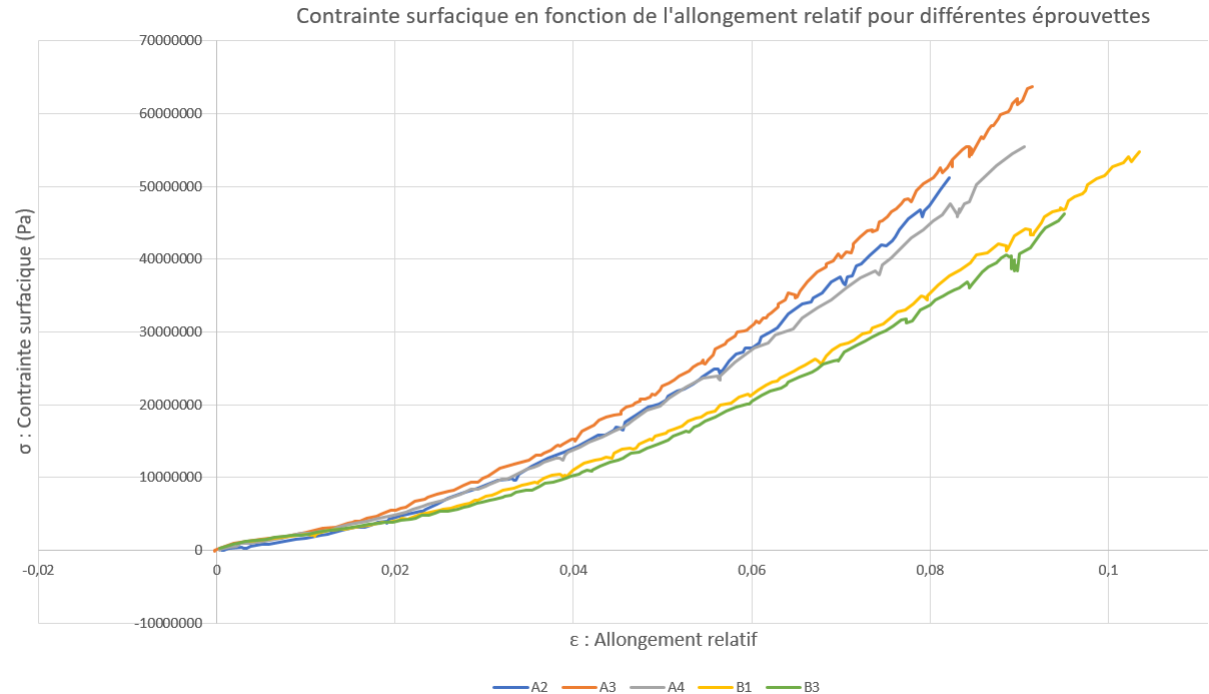
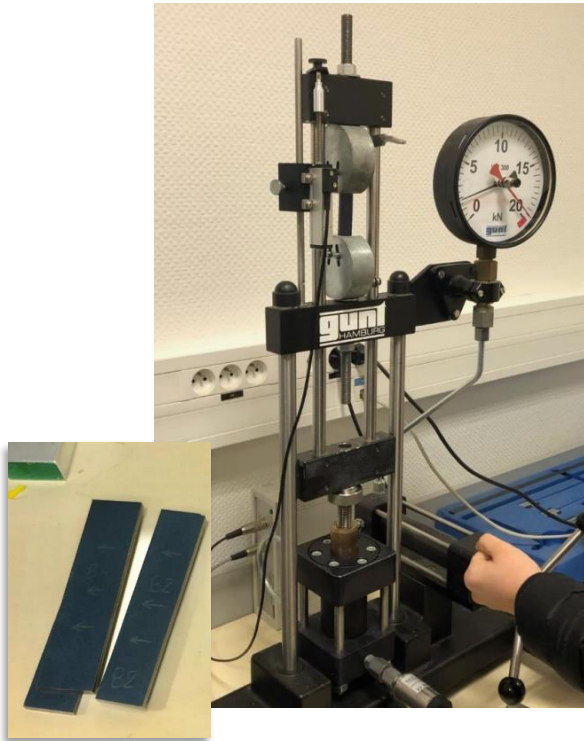
Linéariser la courbe $\sigma = f(\varepsilon)$ dans la **zone d'élasticité** du matériau pour déduire E de sa pente



CÉLÉRITÉ DES ONDES SONORES

MESURE DU MODULE D'YOUNG DU MATÉRIAU

- Obtention d'échantillon de la **résine stratifiée** utilisée auprès d'un industriel
- Utilisation du banc d'essai de traction



Valeur de la célérité : $C_{\text{son } 1} = (3420 \pm 33) \text{ m} \cdot \text{s}^{-1}$

Mesure de l'allongement relatif en fonction de l'effort appliqué sur les éprouvettes

CÉLÉRITÉ DES ONDES SONORES

CALCUL THÉORIQUE : MODULE D'YOUNG

- Loi de Hooke :

$$\sigma = \varepsilon \cdot E$$

- σ = contrainte de traction appliquée (en Pa)
- ε = allongement relatif (adimensionné)
- E = module d'Young (en Pa)

-

$$c = \sqrt{\frac{E}{\mu}} = \sqrt{\frac{\sigma}{\mu \varepsilon}}$$

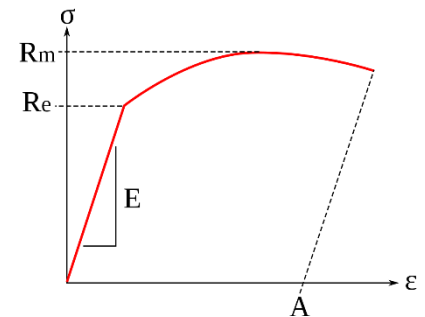
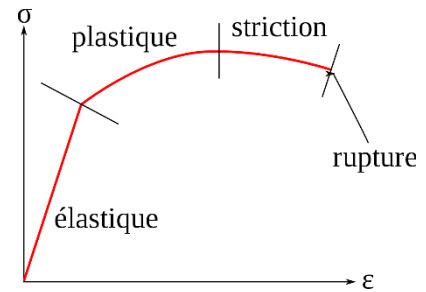
- c = célérité de l'onde dans le matériau (en $m \cdot s^{-1}$)
- μ = masse volumique du matériau (en $kg \cdot m^{-3}$)

Expérimentalement : $\mu = 1,438 \times 10^3 kg \cdot m^{-3}$

- Ordre de grandeur disponible :

- Bois aggloméré : $E = 13 GPa$ donc $c = 3,0 \times 10^3 m \cdot s^{-1}$

Linéariser la courbe $\sigma = f(\varepsilon)$ dans la **zone d'élasticité** du matériau pour déduire E de sa pente



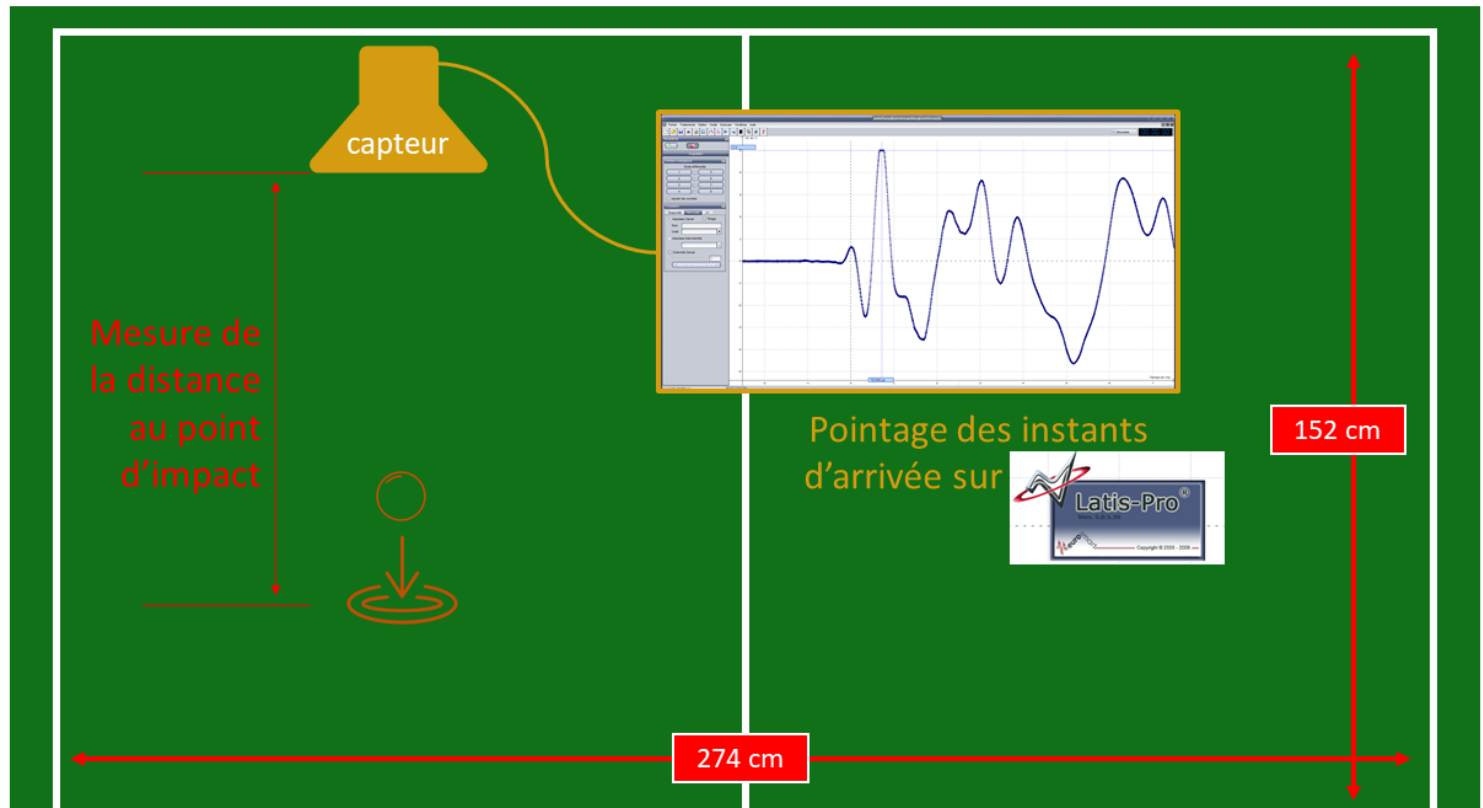
CÉLÉRITÉ DES ONDES SONORES

MESURE DU TEMPS DE PARCOURS DE L'ONDE

- Vingtaine d'impacts, mesure de leur distance au capteur et du retard de l'onde
- Régression linéaire $d = f(t)$



Schéma du dispositif de mesures



CÉLÉRITÉ DES ONDES SONORES

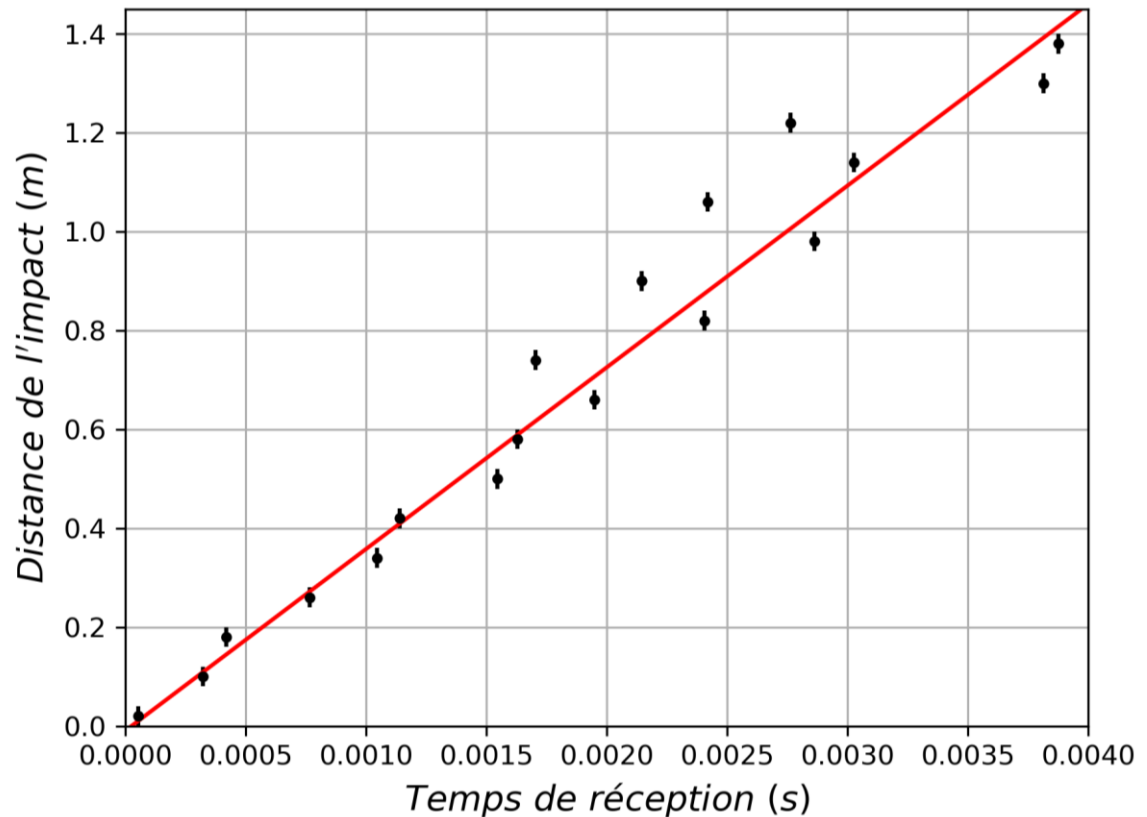
MESURE DU TEMPS DE PARCOURS DE L'ONDE

- Vingtaine d'impacts, mesure de leur distance au capteur et du retard de l'onde
- Régression linéaire $d = f(t)$
- Méthode de Monte-Carlo (pour les incertitudes)

Valeur de la célérité :

$$C_{\text{son } 2} = (367 \pm 4,3) \text{ m} \cdot \text{s}^{-1}$$

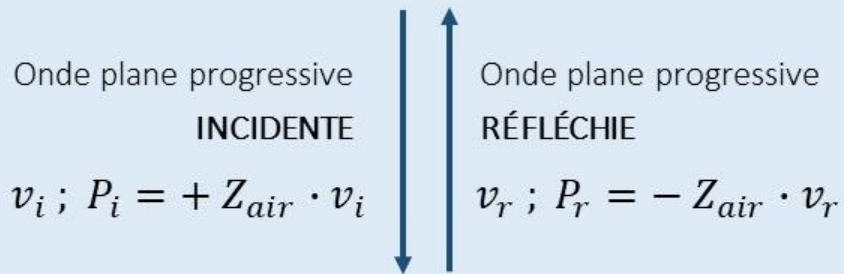
Régression linéaire et méthode de Monte-Carlo (réalisées avec Numpy)



- Précision insuffisante des positions calculées en utilisant la valeur obtenue

CÉLÉRITÉ DES ONDES SONORES

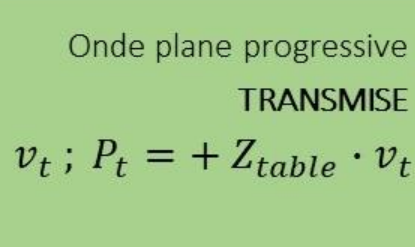
THÉORIE DE LA PROPAGATION À L'INTERFACE



AIR

$$Z_{air} = c_{air} \cdot \mu_{air}$$

$$Z_{air} = 343 \times 1,19 = 4,08 \times 10^2 \text{ kg} \cdot \text{m}^{-2} \cdot \text{s}^{-1}$$



TABLE

$$Z_{table} = c_{table} \cdot \mu_{table}$$

$$Z_{table} = 3420 \times 1438 = 4,92 \times 10^6 \text{ kg} \cdot \text{m}^{-2} \cdot \text{s}^{-1}$$

$$\Rightarrow \begin{cases} v_{i0} + v_{r0} = v_{t0} \\ P_{i0} + P_{r0} = P_{t0} \end{cases} \Rightarrow \begin{cases} v_{i0} + v_{r0} = v_{t0} \\ Z_{air} \cdot (v_{i0} - v_{r0}) = Z_{table} \cdot v_{t0} \end{cases}$$

$$\Rightarrow r_p = \frac{Z_{table} - Z_{air}}{Z_{table} + Z_{air}} = 1,00$$

Coefficient de réflexion de l'onde de surpression à l'interface

CÉLÉRITÉ DES ONDES SONORES

DÉTERMINATION DU PARAMÈTRE NUMÉRIQUE

- **Objectif** : Obtenir une valeur du paramètre C_{son} saisie dans le programme de TDoA qui **maximise la précision** des localisations
- Valeur d'un paramètre, ie ne correspondant aucunement à une mesure physique de la grandeur C_{son}
- Détermination par la méthode des moindres carrés
- Réalisation d'une base de donnée : 55 impacts de coordonnées connues

Valeur du paramètre retenue :

$$C_{\text{son } 3} = (340 \pm 5) \text{ m} \cdot \text{s}^{-1}$$



Mesure des coordonnées puis enregistrement de l'impact par les microphones et le microcontrôleur

– IV –

ANALYSE CRITIQUE DES RÉSULTATS EXPÉRIMENTAUX

ANALYSE CRITIQUE DES RÉSULTATS

RÉGRESSION LINÉAIRE

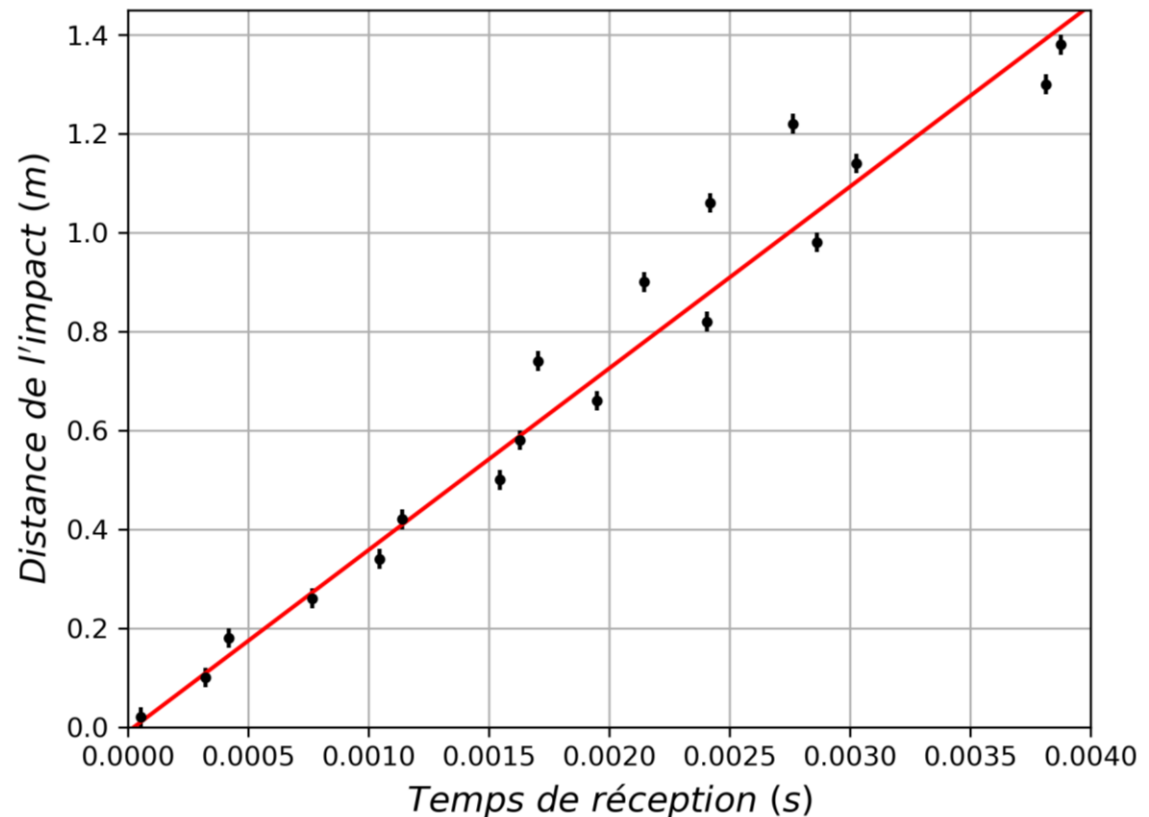
- **Incertitudes expérimentales** ne permettant pas de valider le modèle linéaire
 - Pointage sur *LatisPro* avec réticule : $6 \mu\text{s}$
 - Mesure des distances : 2 cm

Méthode de Monte-Carlo (réalisées avec Numpy)

- Hypothèse d'un **milieu dispersif** : invalidée
- Hypothèse d'existence d'**effets des bords**

Valeur de la célérité :

$$C_{\text{son } 2} = (367 \pm 4,3) \text{ m} \cdot \text{s}^{-1}$$

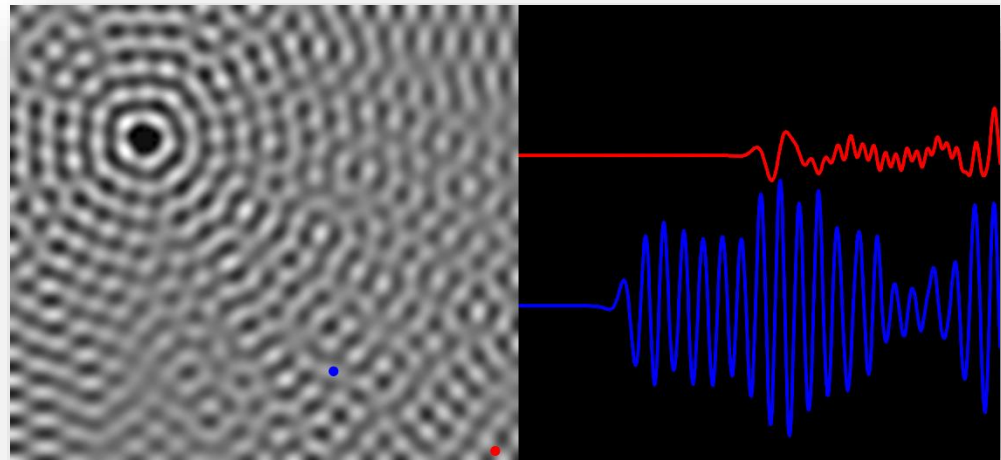
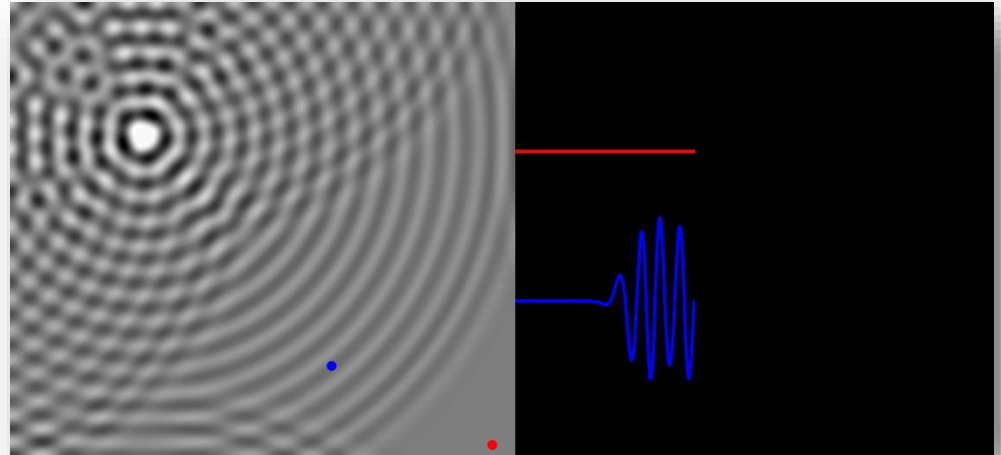


ANALYSE CRITIQUE DES RÉSULTATS

EFFETS DE BORDS

- **Simulation numérique :**

Evolution temporelle de la propagation d'une onde 2D compte tenu des conditions aux limites (réflexion à l'interface table/air)



Simulations numérique des signaux captés en modélisant la réflexion de l'onde

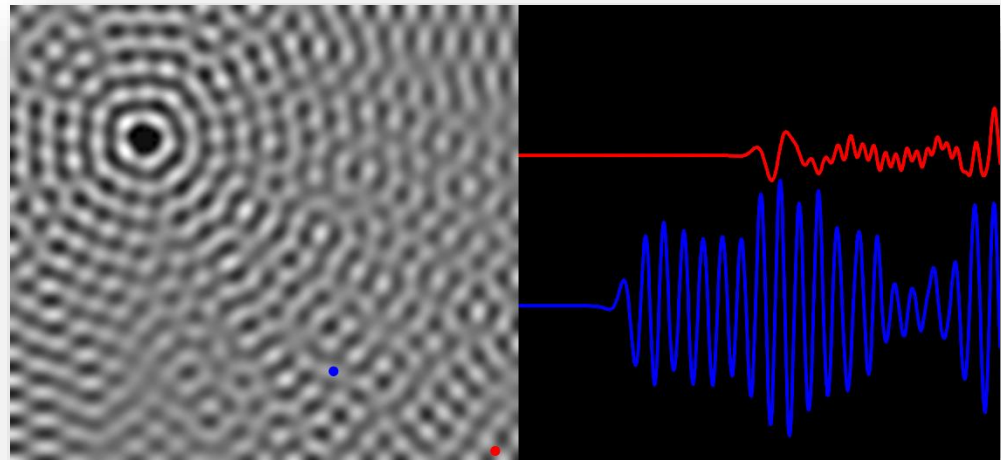
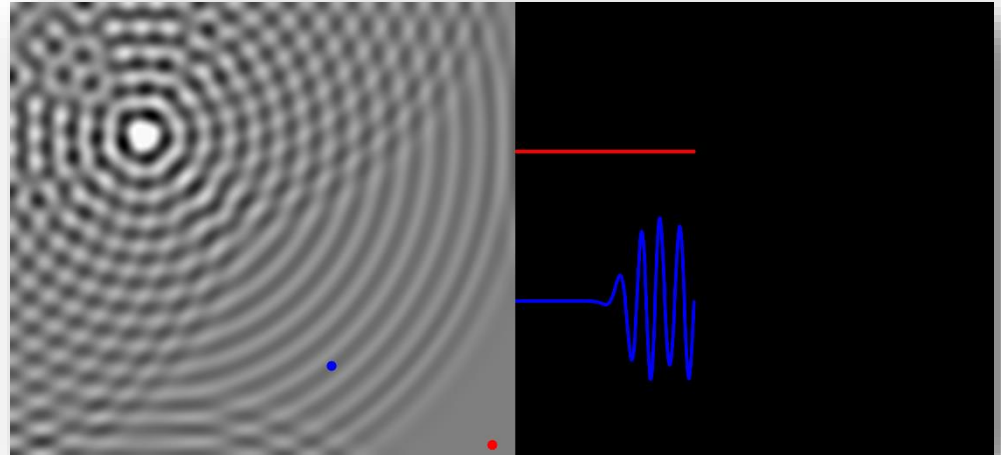
ANALYSE CRITIQUE DES RÉSULTATS

EFFETS DE BORDS

- **Simulation numérique :**

Evolution temporelle de la propagation d'une onde 2D compte tenu des conditions aux limites (réflexion à l'interface table/air)

- Gain en précision lors de l'**éloignement des microphones** : optimal à en 10 cm du bord

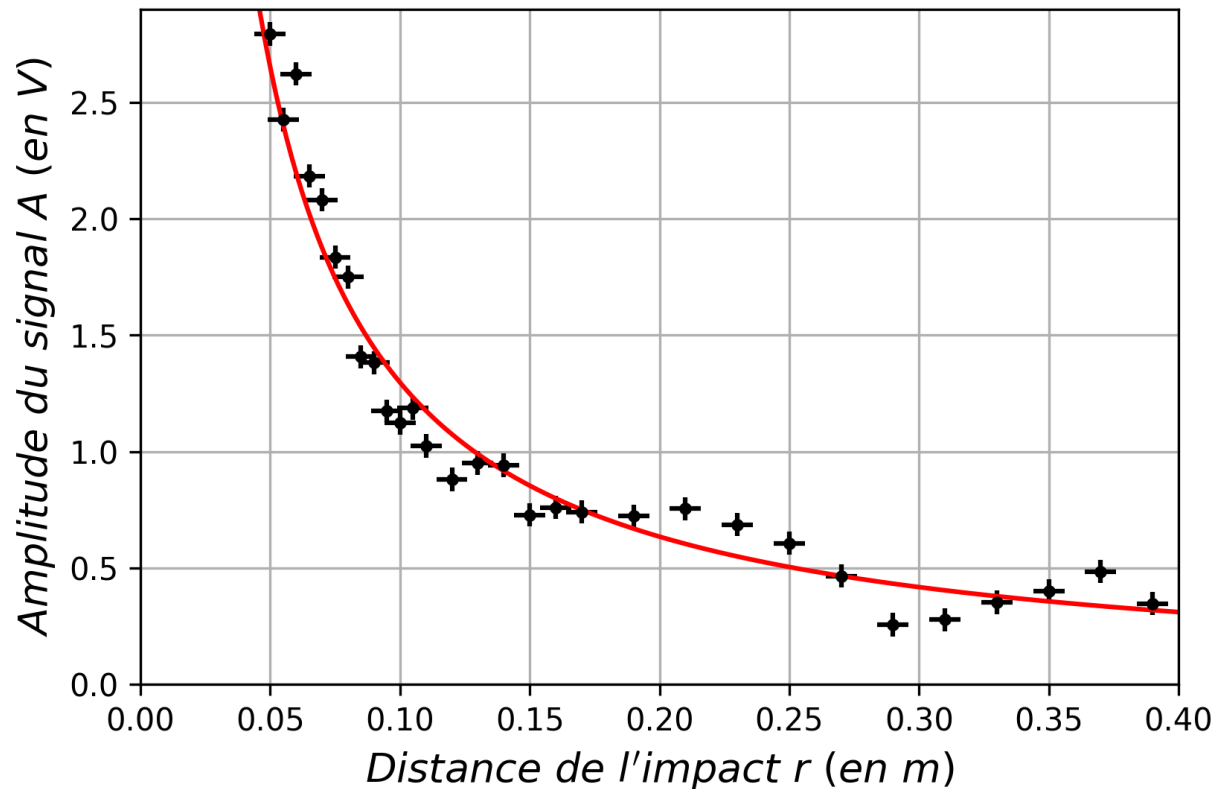


Simulations numérique des signaux captés en modélisant la réflexion de l'onde

ANALYSE CRITIQUE DES RÉSULTATS

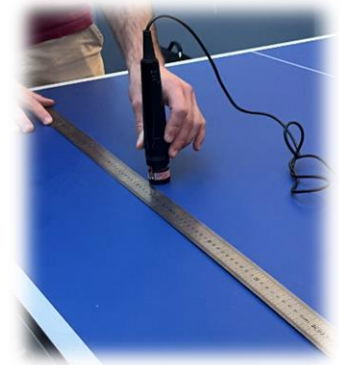
ÉVALUATION DE L'ATTÉNUATION DU SIGNAL

- Mesure de l'amplitude de l'onde acoustique en fonction de la distance à la source



Modélisation mathématiques des résultats expérimentaux (avec barres d'incertitude)

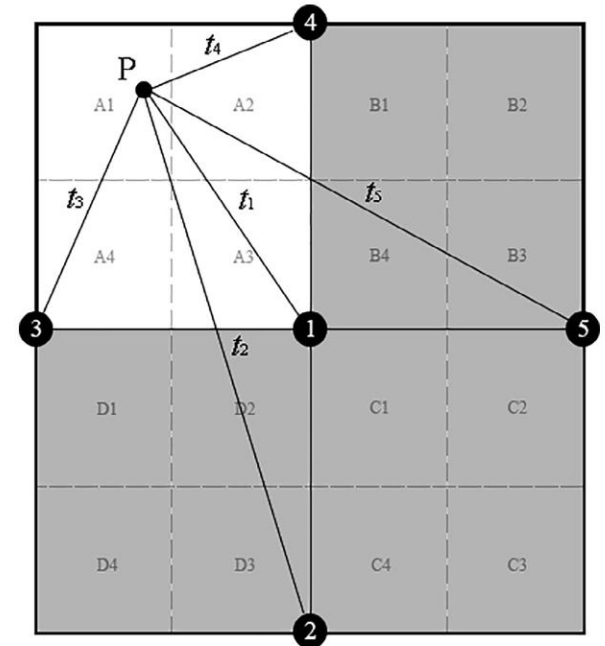
$$A(r) = \frac{0,1205}{r^{1,132}}$$



- Interprétation du modèle : répartition surfacique de la puissance véhiculée

CONCLUSION DU TRAVAIL

- Une **démarche expérimentale** qui a invalidé certaines hypothèses formulées sur les phénomènes exploités
- Une mise en perspectives des résultats : **sources d'incertitudes** multiples et difficilement séparables
- L'**outil numérique** comme réponse aux obstacles rencontrés dans la détermination de la célérité des ondes sonores, pour garantir les performances du système
- Un procédé de localisation des impacts d'une **précision** supérieure à certains systèmes développés



Méthode dichotomique mise en œuvre par de une équipe de l'université de Pyongyang

QUELQUES RÉFÉRENCES BIBLIOGRAPHIQUES

- ALAJLOUNI S, TARAZAGA P. : “A new fast and calibration-free method for footstep impact localization in an instrumented floor” : *Journal of Vibration and Control* (2019)
- YU, HYON-IL ET AL : “Low-cost system for real-time detection of the ball-table impact position on ping-pong table” : *Applied Acoustics, Volume 195* (2022)
- WU, PENG ET AL : “Time Difference of Arrival (TDoA) Localization Combining Weighted Least Squares and Firefly Algorithm” : *Sensors, 19, no. 2554* (2019)

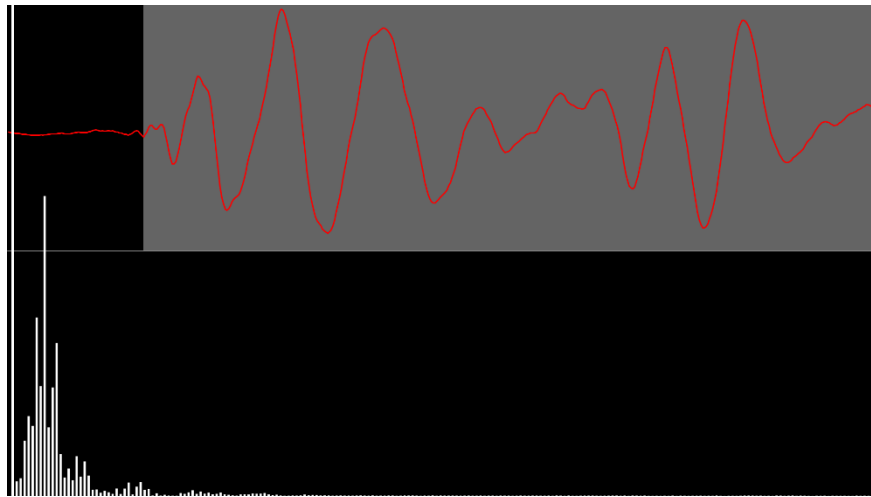
- ANNEXES -

ANNEXE 1 — ISOLATION PHONIQUE DES CAPTEURS

- Vérifications expérimentales de l'efficacité des capteurs (isolation phonique) :
 - Analyse de la **répartition fréquentielle** de la puissance enregistrée lors d'un impact standard
 - Calcul (*Scipy*) et comparaison du **rapport Signal/Bruit** lors d'un enregistrement sans impact

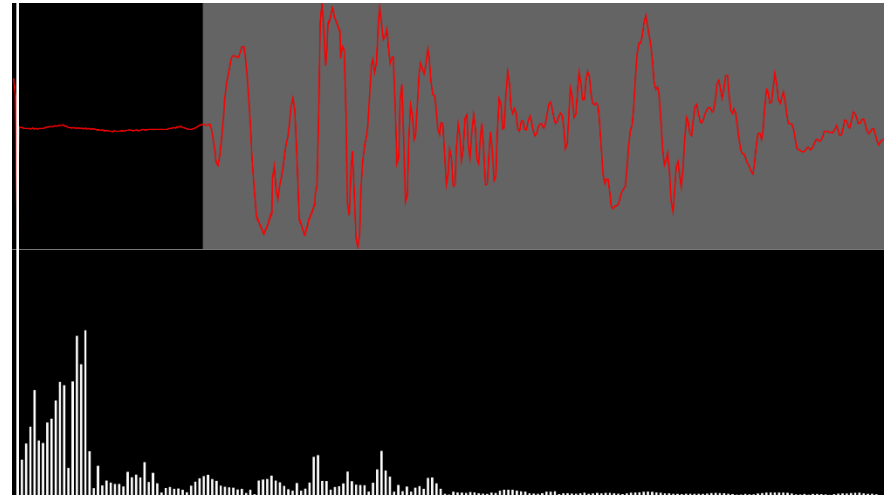
Enregistrement d'un impact standard :

AVEC le système d'isolation



80 dB

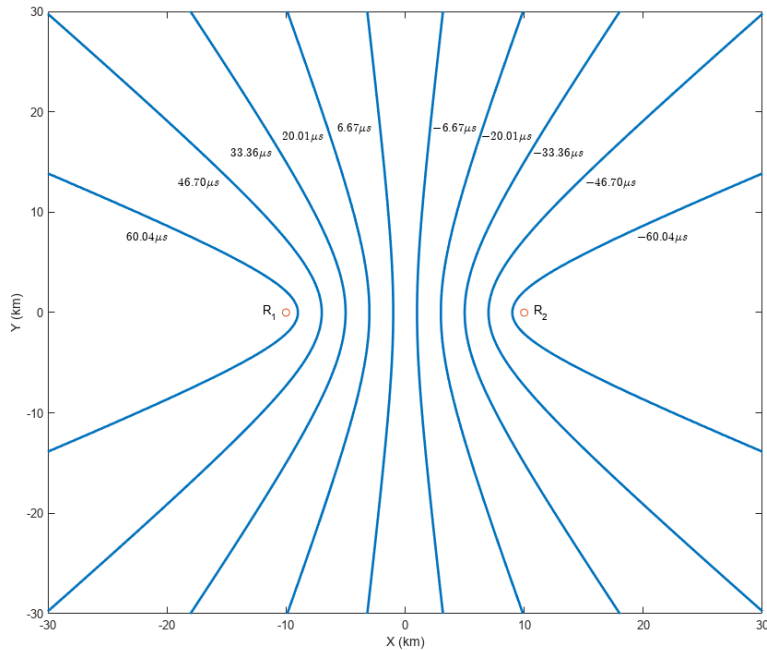
SANS le système d'isolation



72 dB

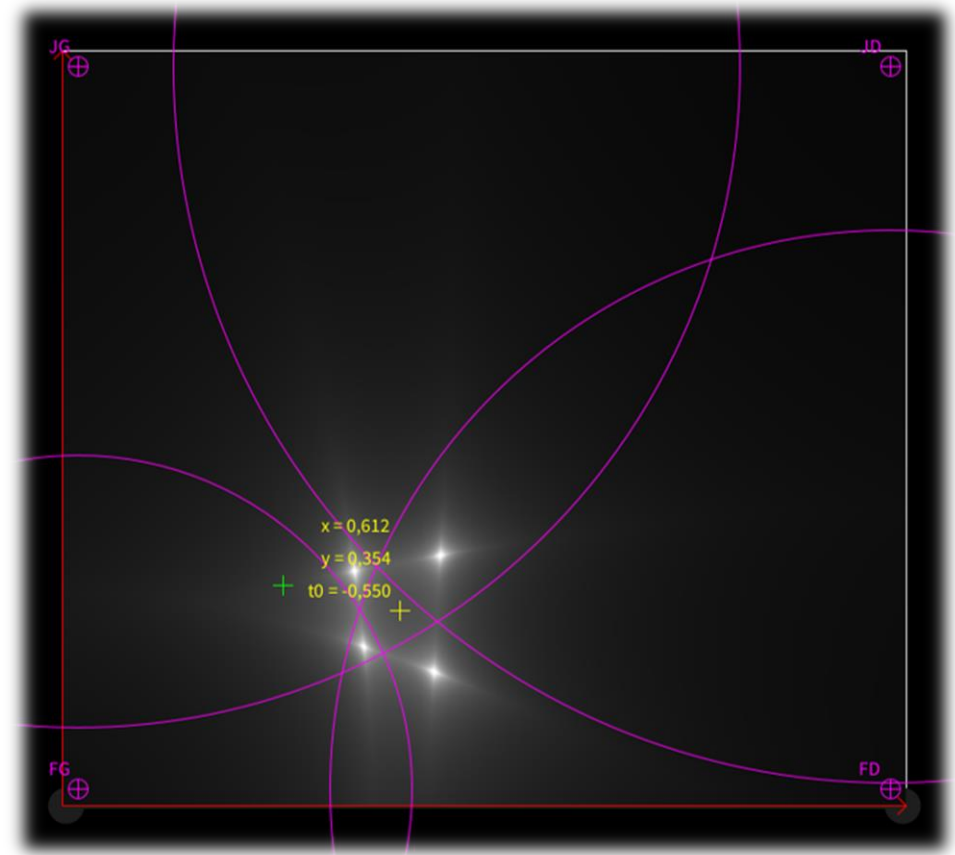
Rapport Signal/Bruit

ANNEXE 2 - TDOA



Hyperboles représentant l'ensemble des points d'impact dont les instants de réception au niveau des 2 capteurs de la paire R seraient séparés d'une certaine durée (en μs)

Interception des hyperboles issues pour localiser le point d'impact



ANNEXE 3 – FILTRE NUMÉRIQUE

Code utilisé (C++, interface Arduino) :

```
void filterPBande(int micro[], float out[], int nbEchPerPeriod, float Q) {
    float w0Te = TWO_PI/float(nbEchPerPeriod);

    out[0] = 0;
    out[1] = 0;
    counter = (counter+2) % NBSAMPLE;

    for(int i = 2; i < NBSAMPLE; i++) {
        out[i] = 2*out[i-1] - out[i-2]*(1+w0Te*w0Te) + w0Te/Q * (micro[(counter-1+NBSAMPLE)%NBSAMPLE]
            - micro[(counter-2+NBSAMPLE)%NBSAMPLE] - out[i-1] + out[i-2]);
        if(counter >= NBSAMPLE) counter = 0;
        counter++;
        if(counter >= NBSAMPLE) counter = 0;
    }
}
```

- `micro[]` : liste contenant les échantillons originaux
- `out[]` : liste qui va contenir le signal filtré
- fréquence de filtrage : $f_0 = 1/T_0 = 1/(nbEchPerPeriod * T_e)$
(où T_e = periode d'échantillonnage = 15 μ s)
- `counter` : variable utilisée pour obtenir le bon numéro d'échantillon (externe à la fonction)

ANNEXE 4 – MODULE D'YOUNG

Loi d'élasticité (loi de Hooke) : $\sigma = E \cdot \varepsilon$

où :

σ = contrainte de traction appliquée (en Pa)

$\varepsilon = (\ell - \ell_0)/\ell_0$ = déformation (un allongement relatif, adimensionné)

E = module de Young (en Pa)

Relation entre la **célérité du son** et le module d'Young: $c = \sqrt{E/\mu}$

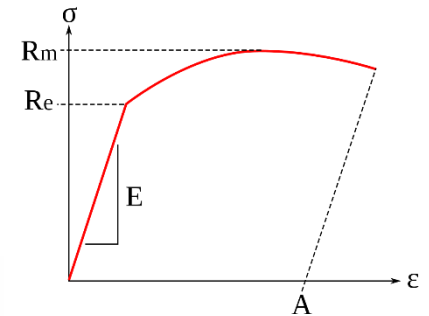
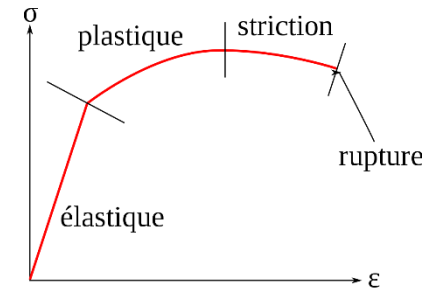
où :

μ = masse volumique du matériau (en kg/m³)

c = célérité du son (en m/s)

Finalement :

$$c = \sqrt{\sigma/\mu\varepsilon}$$



Linéariser la courbe $\sigma = f(\varepsilon)$ dans la **zone d'élasticité** du matériau pour déduire E de sa pente



ANNEXE 5 — CÉLÉRITÉS DES ONDES SONORES DANS L'AIR

Dans le cadre de l'approximation acoustique :

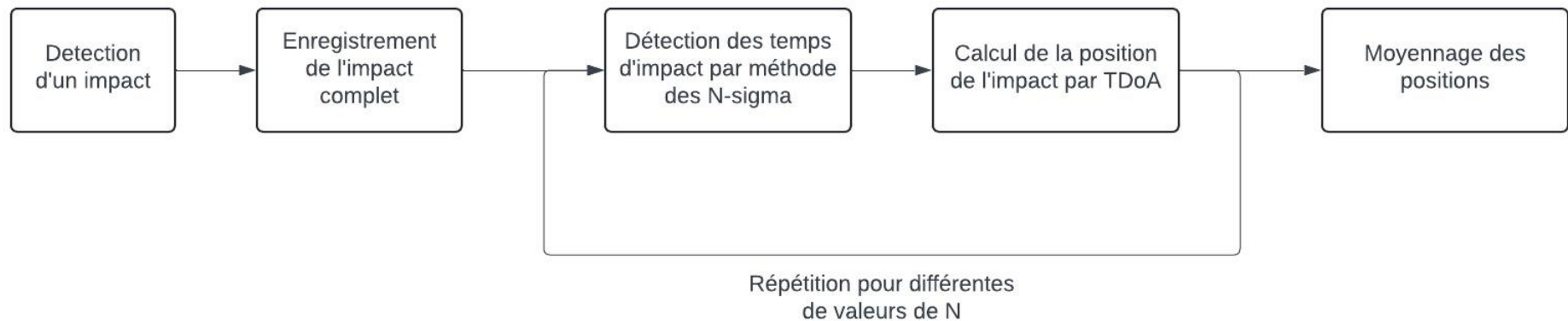
Propagation isentropique (adiabatique réversible) de l'air assimilé à un gaz parfait diatomique :

$$C_{\text{son air}} = \sqrt{\frac{\gamma \cdot R \cdot T}{M_{\text{air}}}} = 343 \text{ m} \cdot \text{s}^{-1}$$

- $C_{\text{son air}}$ = célérité de l'onde sonore dans l'air (en $\text{m} \cdot \text{s}^{-1}$)
- $\gamma = 1,4$ = coefficient adiabatique d'un gaz parfait diatomique
- $T = 293 \text{ K}$ = température du gaz parfait
- $M_{\text{air}} = 2,9 \times 10^{-2} \text{ kg} \cdot \text{mol}^{-1}$ = masse molaire de l'air

ANNEXE 6 — INCERTITUDE DÉTERMINATION ALGORITHMIQUE

Mise en œuvre algorithmique de la détermination du paramètre C_{son} permettant la plus grande précision sur les localisations (base de données de 50 impacts) :



Valeur du paramètre retenue :
 $C_{\text{son } 3} = (340 \pm 5) \text{ m} \cdot \text{s}^{-1}$